

**ИНСТИТУТ ЯДЕРНОЙ ФИЗИКИ СИБИРСКОГО ОТДЕЛЕНИЯ АН СССР**

---

**препринт- 88**

**В.С.Григорьев, Г.М.Протопопова**

**Фотографическая дозиметрия  
рентгеновского излучения**

**НОВОСИБИРСК 1966**

## I. ВВЕДЕНИЕ

Несмотря на большое разнообразие методов регистрации ионизирующих излучений, фотографическая дозиметрия - наиболее распространенный метод индивидуального дозиметрического контроля. Трудности возникают при попытке применить фотоэмульсию для дозиметрии рентгеновского излучения в диапазоне энергий от 10 до 300 кэв. Как известно /1/ в этой энергетической области у фотоэмульсии наблюдается довольно значительная зависимость почернения от энергии или так называемый ход с жесткостью пленки. Обычно спектр градуировочного и рабочего излучения различен и ход с жесткостью пленки вносит неопределенность в полученные значения доз.

В существующем в настоящее время методе измерения рентгеновского и  $\gamma$ -излучения с помощью кассеты ИФК-2,3, предложенном В.Ф.Козловым /2/, ход с жесткостью пленки уменьшен с помощью набора фильтров из разного материала. Этот метод гарантирует хорошую точность определения доз (но не энергии) в диапазоне энергий регистрируемого излучения от 100 кэв и выше.

Настоящей работой предусматривается разработка и опробование метода фотографической дозиметрии в диапазоне энергий 10-1000 кэв, позволяющего определять дозы и энергию излучения с точностью лучше, чем  $\pm 50\%$ .

## 2. ОПИСАНИЕ МЕТОДА

Остановимся на основных предпосылках, ведущих к определению дозы и энергии излучения. В зависимости от типа применяемой эмульсии ее чувствительность при энергии около 40 кэв будет в  $10 \pm 40$  раз больше, чем при 1000 кэв. На рис. I приведено отношение  $\left(\frac{S_{40}}{S_E}\right) D = \text{const}$ , как функция энергии излучения для пленки типа "ORWO", где  $S_{40}$  - почернение при 40 кэв, а  $S_E$  - при энергии  $E$ . График построен для значений экспозиционной дозы 100 мр. До такой дозы зависимость между почернением и дозой - линейная. Излучение с энергией 40 кэв будем считать эталонным, а отношение  $n = \left(\frac{S_{40}}{S_E}\right) D = \text{const}$  назовем поправочным множителем.

Для установления дозы рентгеновского излучения, которой была

облучена пленка, необходимо прежде всего знать спектральный состав падающего излучения. Это можно сделать с помощью фильтров и точность будет тем лучше, чем больше фильтров имеет кассета. Результаты теоретического рассмотрения действия поглощающих фильтров /3,4/ показывают, что для установления дозы и энергии рентгеновского излучения комбинация из трех медных фильтров толщиной 0,05 мм, 0,5 мм и 1,2 мм является достаточной для целей практической дозиметрии.

Нами использовалась кассета ИФК-2,3 М из капрона, изготовленная по типу кассеты ИФК-2,3. В углублениях (размер 14 x 19 x 3) кассеты ИФК-2,3 М расположены фильтры из меди таким образом, что излучение, действующее на кассету на одном участке (окно), своевременно достигает фотопленки; на втором участке проходит через фильтр I, являющийся стенкой кассеты, толщиной 1 мм, плюс фильтр из меди, толщиной 0,05 мм, на третьем — через фильтр 2 (меди 0,5 мм + стенка кассеты), на четвертом — через фильтр 3 (меди 1,2 мм + стенка кассеты). Фильтры размещены как на передней, так и на задней стороне кассеты.

Кассеты ИФК-2,3М заряжаются пленкой типа "ORWO" или РМ-5-1, РМ-5-3, РМ-5-4.

Как известно, эффективный линейный коэффициент ослабления в широком пучке связан с экспозиционной дозой и толщиной фильтра следующим соотношением:

$$\mu = \frac{\ln D_0 - \ln D_i}{x}, \text{ где}$$

$D_0$  — экспозиционная доза падающего излучения;  $x$  — толщина фильтра;

$D_i$  — экспозиционная доза прошедшего через фильтр излучения (где  $i = 1, 2, 3$ ). Из анализа этого выражения следует, что, если на пленку, находящуюся под фильтрами, падает монохроматическое излучение, то график зависимости величины дозы от толщины фильтра, в полулогарифмическом масштабе (верхний график на рис.2) представляет собой прямую с постоянным углом наклона  $\alpha$  к оси абсцисс, где  $\operatorname{tg} \alpha = \mu$ .

Для немонохроматического излучения справедлив нижний график рис.2. поскольку имеются только три фильтра, то кривая дозы разбивается на три участка, каждый из которых характеризуется своим углом

наклона  $\alpha_i$ , следовательно и  $\mu_i$ .

Чтобы определить дозу облучения, необходимо знать вклад в дозу жесткой компоненты излучения, средней и мягкой. Путем линейной экстраполяции к нулевой толщине фильтра (окно) (см.рис.2) находим:

$$D_{10}, D_{20}, D_{30}, \text{ где}$$

$D_{30}$  — величина, характеризующая дозу жесткого излучения;

$(D_{20} - D_{30})$  — величина, характеризующая дозу излучения средней энергии;

$(D_{10} - D_{20})$  — величина, характеризующая дозу мягкого излучения.

Шкала денситометра ДФЭ-10 калибруется в дозах 40-кэвного рентгеновского излучения. в результате доза облучения будет равна:

$$D_{30} \cdot n_1 + (D_{20} - D_{30}) \cdot n_2 + (D_{10} - D_{20}) \cdot n_3 = D$$

где  $n_1, n_2, n_3$  — поправочные множители, определяемые по кривым рис.12.

### 3. ГРАДУИРОВКА ПЛЕНОК

Было облучено несколько сот пленок типа "ORWO" во Всесоюзном научно-исследовательском институте метрологии им.Менделеева. Коэффициент однородности градуировочного рентгеновского излучения в калибруемом диапазоне энергий изменялся от 2,21 до 1,23. Пленки облучались излучением с эффективной энергией от 10 до 1250 кэв. Графики зависимости почернения пленки от дозы для разных энергий приведены на рис.3,4,5,6,7,8,9,10.

По этим графикам были построены кривые хода с жесткостью для доз 50 мр, 100 мр, 150 мр, 200 мр, 250 мр. По максимальным значениям почернений с графиков хода с жесткостью при контрольной энергии 39,8 кэв строилась кривая зависимости почернения от дозы для энергии около 40 кэв (см.рис.11). По этой кривой была проградуирована шкала денситометра ДФЭ-10, затем строились графики зависимости  $n$  от отношения доз (см.рис.12). Все графики даны с учетом вида пленки.

Из этих значений доз вычитают дозу, обусловленную вуалью и полученные  $D_0$ ,  $D_1$ ,  $D_2$ ,  $D_3$  вносят в таблицу № I.

#### 4. ОПРЕДЕЛЕНИЕ ЭКСПОЗИЦИОННОЙ ДОЗЫ РЕНТГЕНОВСКОГО ИЗЛУЧЕНИЯ

типа

I. Облученную пленку "ORWO" проявляют вместе с фоновой.

С целью снижения влияния фактора проявления необходимо соблюдать следующий режим фотообработки рабочих пленок:

- проявление при температуре проявителя  $18^{\circ}\text{C}$  - 10 минут;
- промывка водой - 2 минуты;
- фиксирование при комнатной температуре - 20 минут;
- промывка водопроводной проточной водой не менее - 15 мин.

Состав проявителя: (проявитель № I чл.-корр. Чубисова)

1. Вода	- 750 мл.
2. метол	- 1 г.
3. Сульфит натрия безводный	- 26 г.
4. Гидрохинон	- 5 г.
5. Сода безводная	- 20 г.
6. Бромистый калий (10% раствор)	- 10 мл.
7. Вода холодная до	- 1 л.

Состав фиксажа (кислый)

1. Натрий серноватисто-кислый кристаллический	- 260 г
2. Аммоний хлористый	- 50 г
3. Метабисульфит натрия	- 16 г
4. Вода до 1 л.	

В трех литрах проявителя допускается обработка не более 100 пленок типа "ORWO" (размер  $30 \times 40$  мм). Максимальный срок хранения проявителя и фиксажа 2 недели. Обработка пленок производится в полной темноте.

2. Просматривают на денситометре ДФЭ-10, шкала которого проградуирована в дозах рентгеновского излучения 40 кэв. Получают четыре значения дозы  $D'_0$ ,  $D'_1$ ,  $D'_2$ ,  $D'_3$ .

Таблица № I

Окно	Доза, определенная по денситометру			$\frac{D_0}{D_1}$ по графику рис. I2 определяем $n_1$	Действительная доза $(D_{10} - D_{20}) \cdot n_1 = \Delta D_1$
	доля дозы на рис. 2	0,05 мм	0,5 мм		
$D_0$					
$D_{10} - D_{20}$				$\frac{D_1}{D_2}$ по графику рис. I2 определяем $n_2$	$(D_{20} - D_{30}) \cdot n_2 = \Delta D_2$
	$D_1$				
$D_{20} - D_{30}$				$\frac{D_2}{D_3}$ по графику рис. I2 определяем $n_3$	$D_{30} \cdot n_3 = \Delta D_3$
$D_{30}$		$D_2$	$D_3$		

ИТОГО:  $D = \Delta D_1 + \Delta D_2 + \Delta D_3$

Эффективная энергия облучения определяется по кривой рис. I для поправочного множителя компонента, которая дает максимальный вклад в суммарную дозу в соответствии с таблицей I.

Предлагается более упрощенный способ определения дозы по таблице 2.

Таблица 2

Окно	Доза, определенная по денситометру (с вычетом вуали)			Поправочный множитель	Действительная доза	Эффективная энергия
	0,05 мм	0,5 мм	1,2 мм			
$D_0$	$D_1$	$D_2$	$D_3$	$n$	$D_0 \cdot n = D$	$E(n)$

3. Для определения поправочного множителя  $n$  нужно вычислить отношения  $\frac{D_0}{D_1}$ ;  $\frac{D_0}{D_2}$ ;  $\frac{D_0}{D_3}$ ;  $\frac{D_0}{D_4}$ , определить по соответствующим кривым рис.12  $n_1$ ,  $n_2$ ,  $n_3$ ,  $n_4$  соответственно и взять из них наибольший.

4. Значение дозы  $D_0$  (окно) умножают на поправочный множитель  $n$  и получают экспозиционную дозу.

5. По графику рис.1 по полученному  $n$  определяют энергию излучения, попадающего на кассету с пленкой. Как видно из графика рис.1 каждому  $n$  соответствует два значения  $E$ . Если значения приведенных выше отношений больше соответствующих отношений для излучения в 40 кэв (см.таблицу № 3), то следует пользоваться левой ветвью кривой графика рис.1, если меньше, то правой.

Таблица № 3

Для излучения с энергией 40 кэв			
$\frac{D_0}{D_1}$	$\frac{D_0}{D_2}$	$\frac{D_0}{D_3}$	$\frac{D_0}{D_4}$
$1,1 \pm 0,2$	$2,3 \pm 0,1$	$2,0 \pm 0,1$	$5,2 \pm 0,2$

Этот способ определения доз рентгеновского излучения в отдельных случаях может давать ошибку  $\pm 50\%$  из-за неудачного выбора отношений доз и неоднородности излучения. Поэтому в тех случаях, когда необходима большая точность, рекомендуется производить вычисление дозы в соответствии с таблицей № 1.

Точность метода определялась по пленкам, проградуированным в г.Новосибирске во НГНИИП. Общее количество просмотренных пленок составляло около 500 штук. Градуировочные дозы и эти же дозы, определенные по выше приведенным таблицам, имели хорошее согласие (лучше  $\pm 50\%$ ).

### ЗАКЛЮЧЕНИЕ

Преимущества предлагаемого метода состоят в том, что он:

1) Позволяет определять экспозиционную дозу и эффективную энергию рентгеновского излучения с точностью лучше  $\pm 50\%$ , в диапазоне энергий 10-1000 кэв.

2) Позволяет использовать приведенные графики многократно для данного типа фотоэмulsionии ("ORWO"), а не строить каждый раз градуировочные.

3) Не вызывает больших затрат времени при наложении индивидуальном фотоконтроле.

В заключении следует отметить, что этот метод опробован в институтах СО АН СССР. Опыт показал хорошие результаты и в настоящее время этот метод широко внедряется в практику дозиметрических служб.

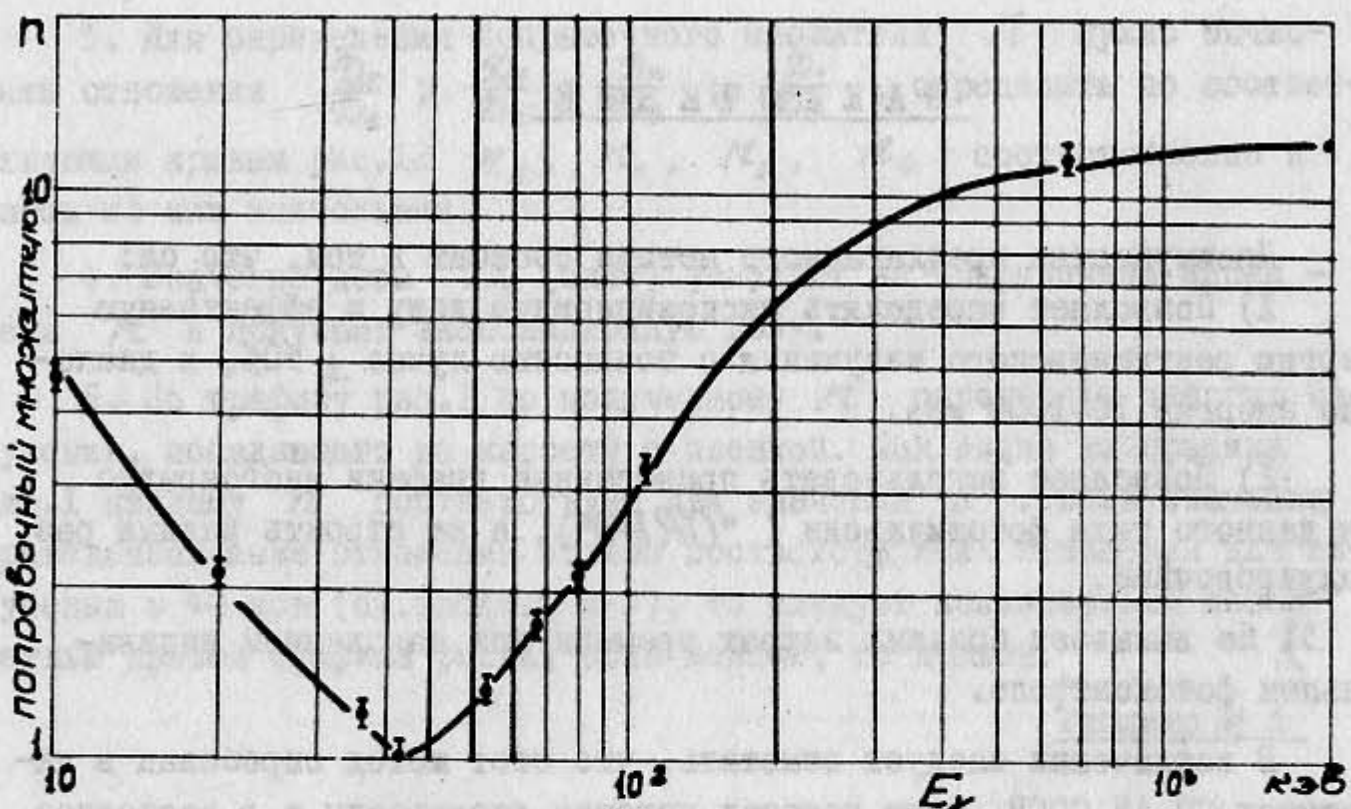
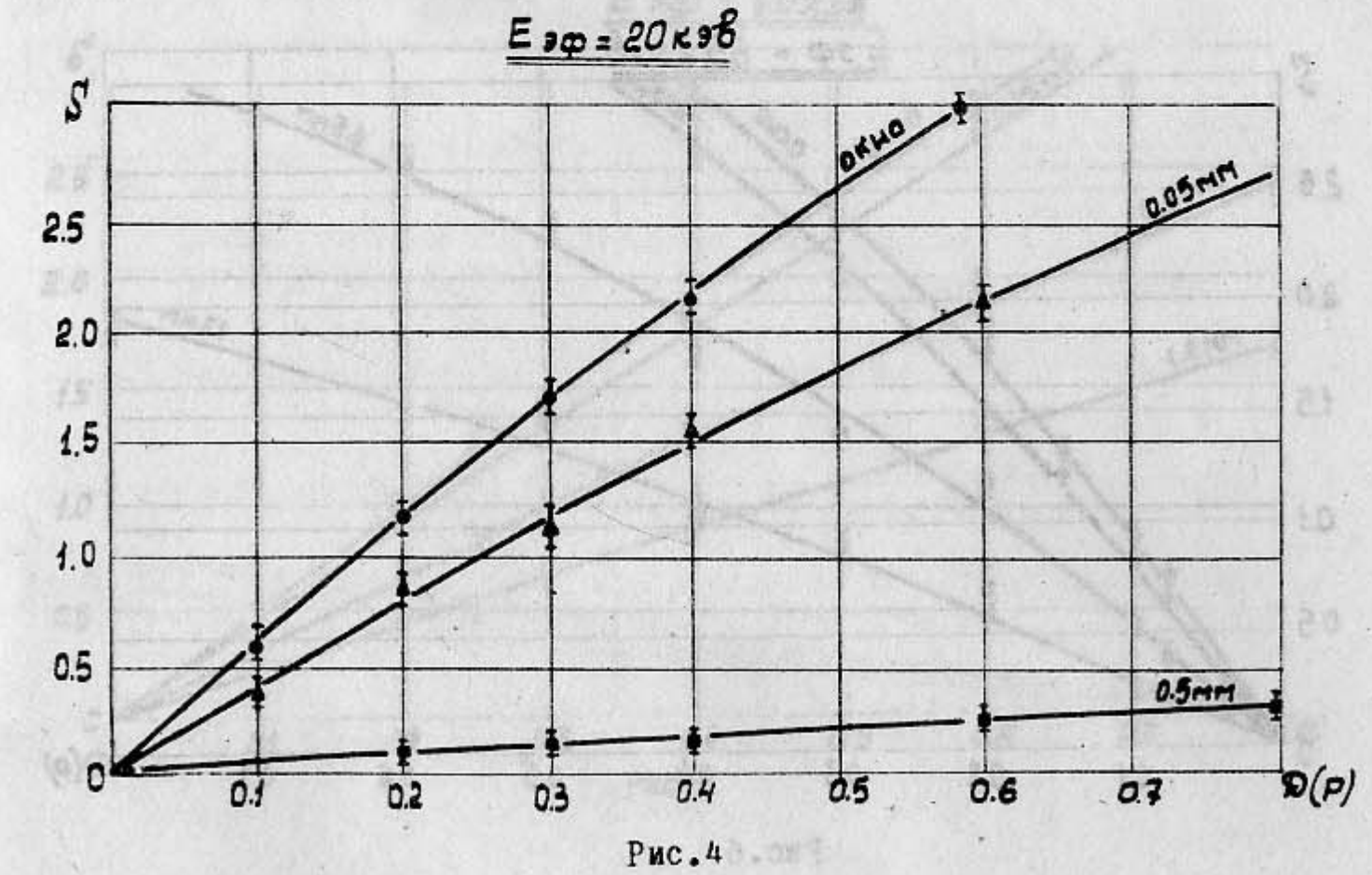
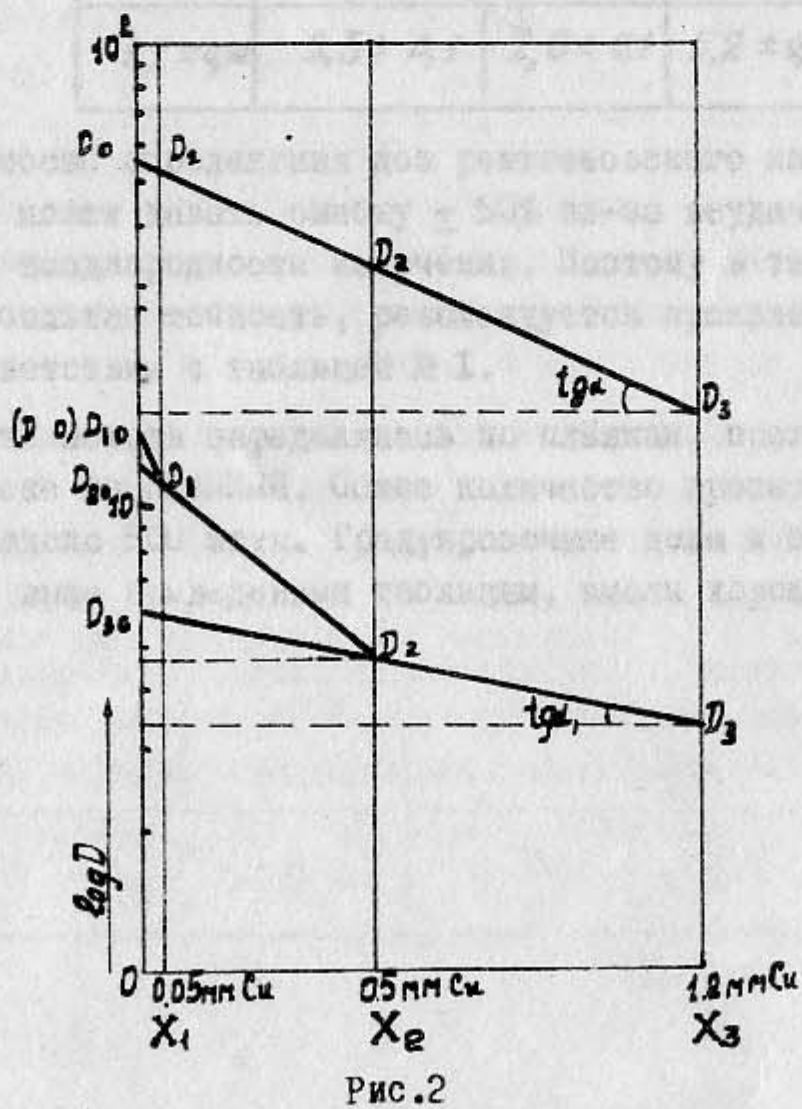
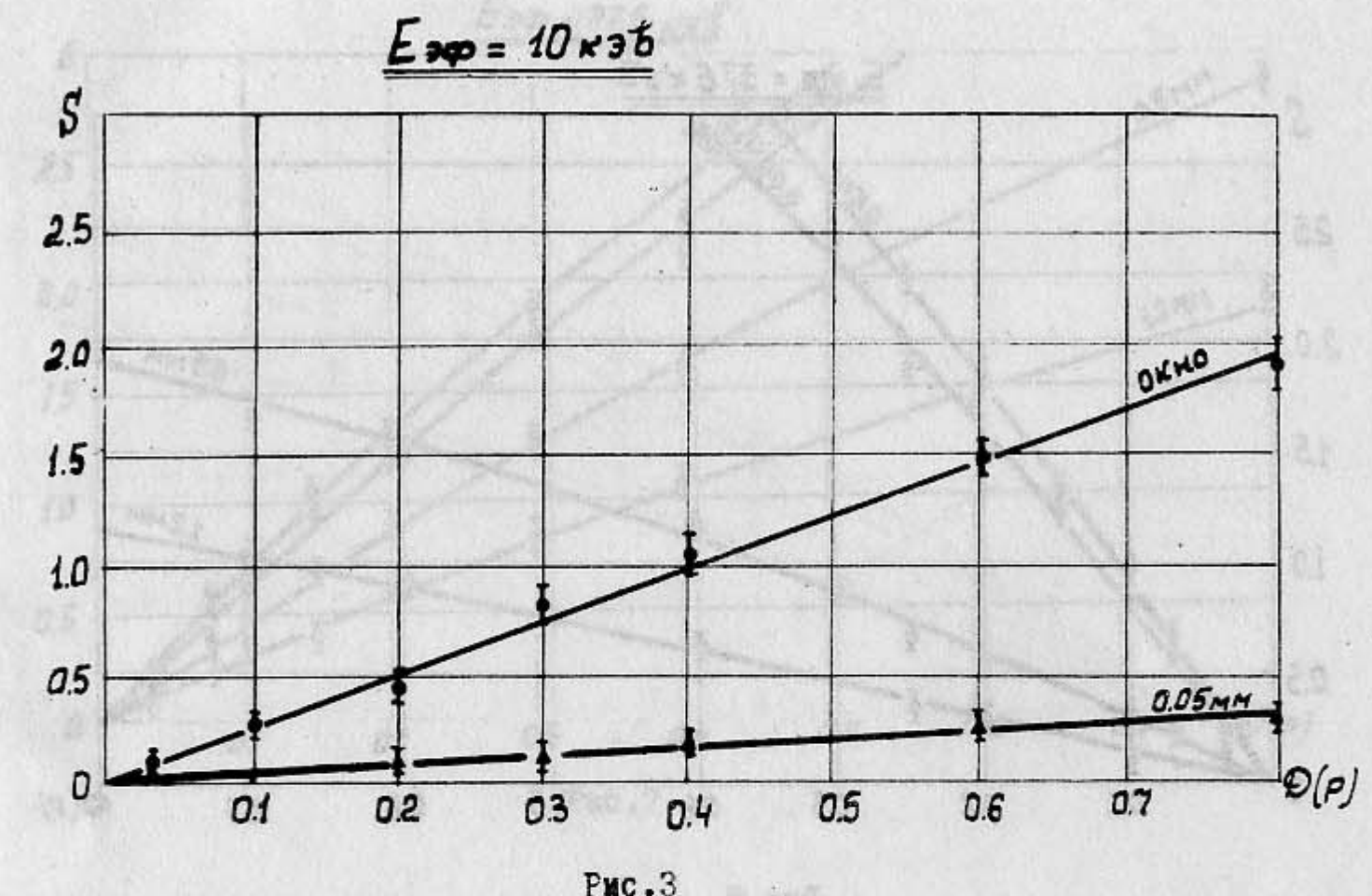


Рис. 1



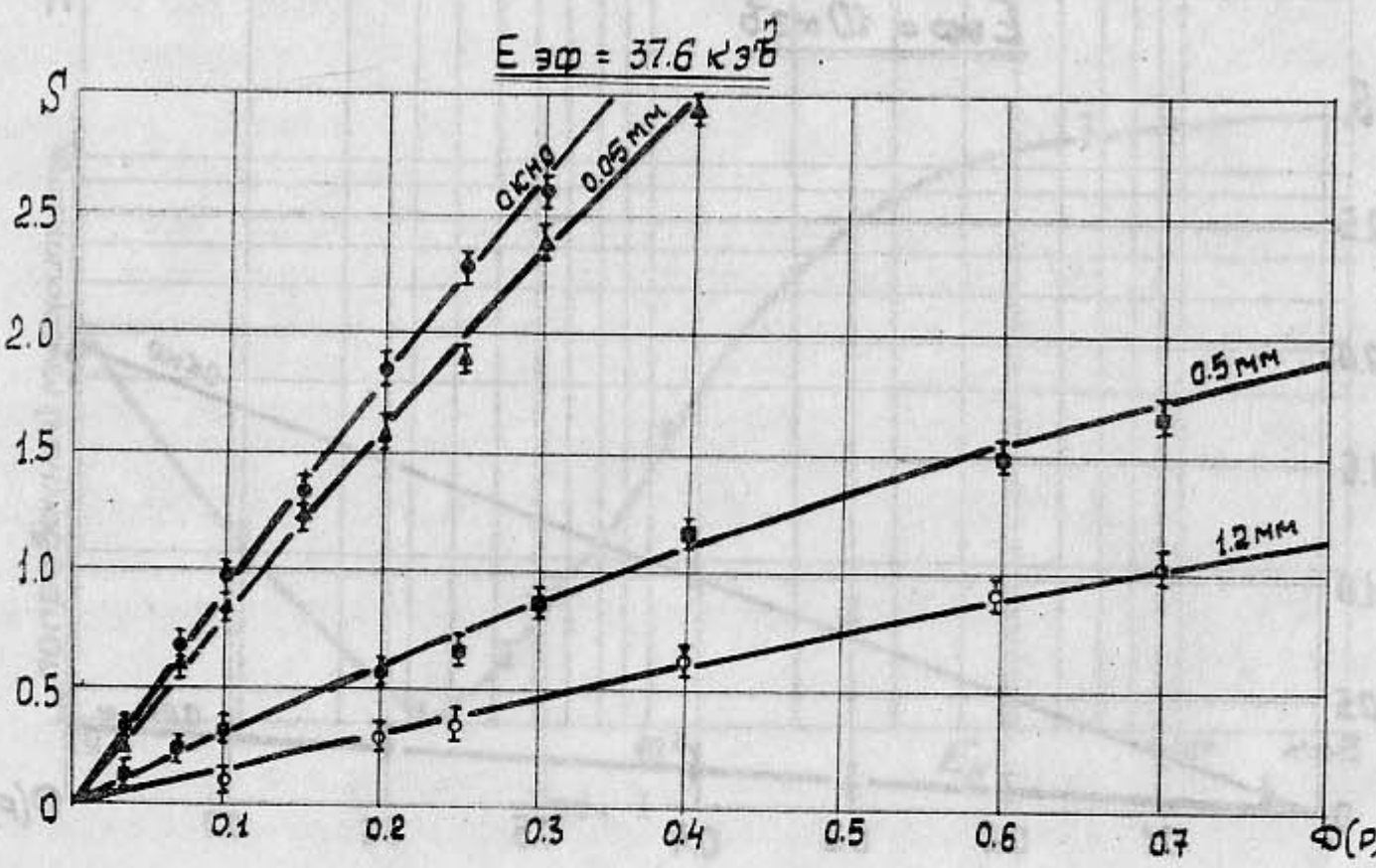


Рис.5

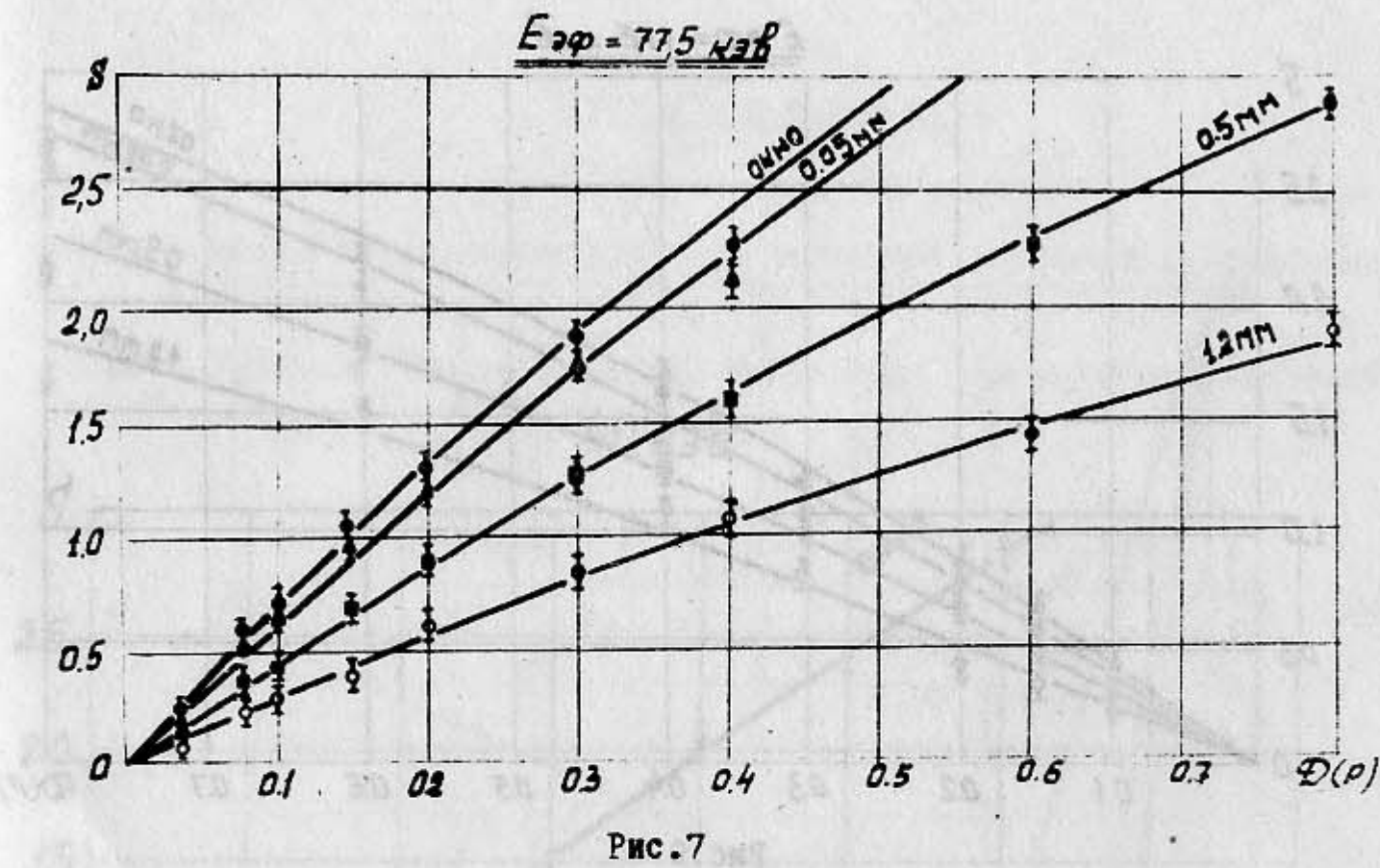


Рис.7

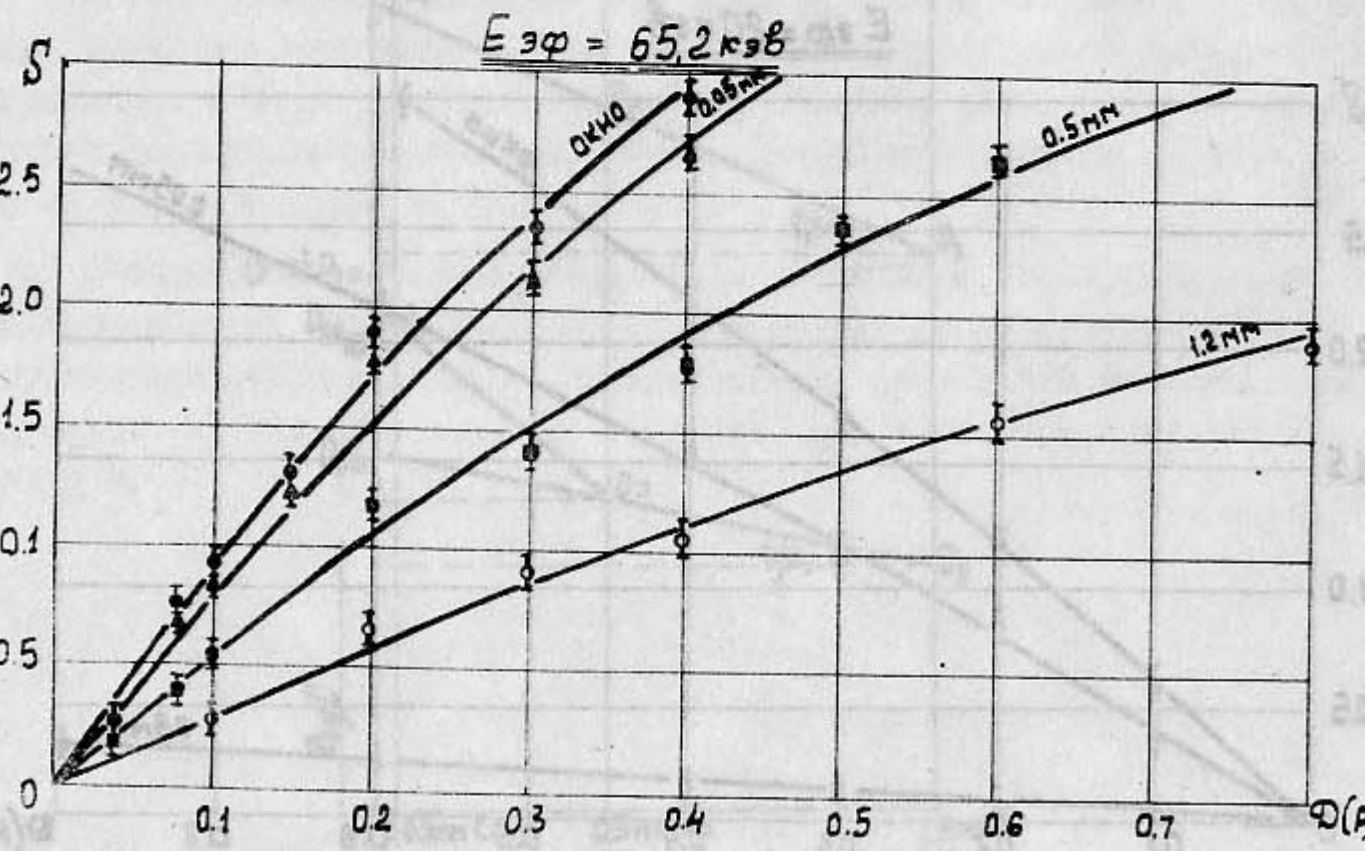


Рис.6

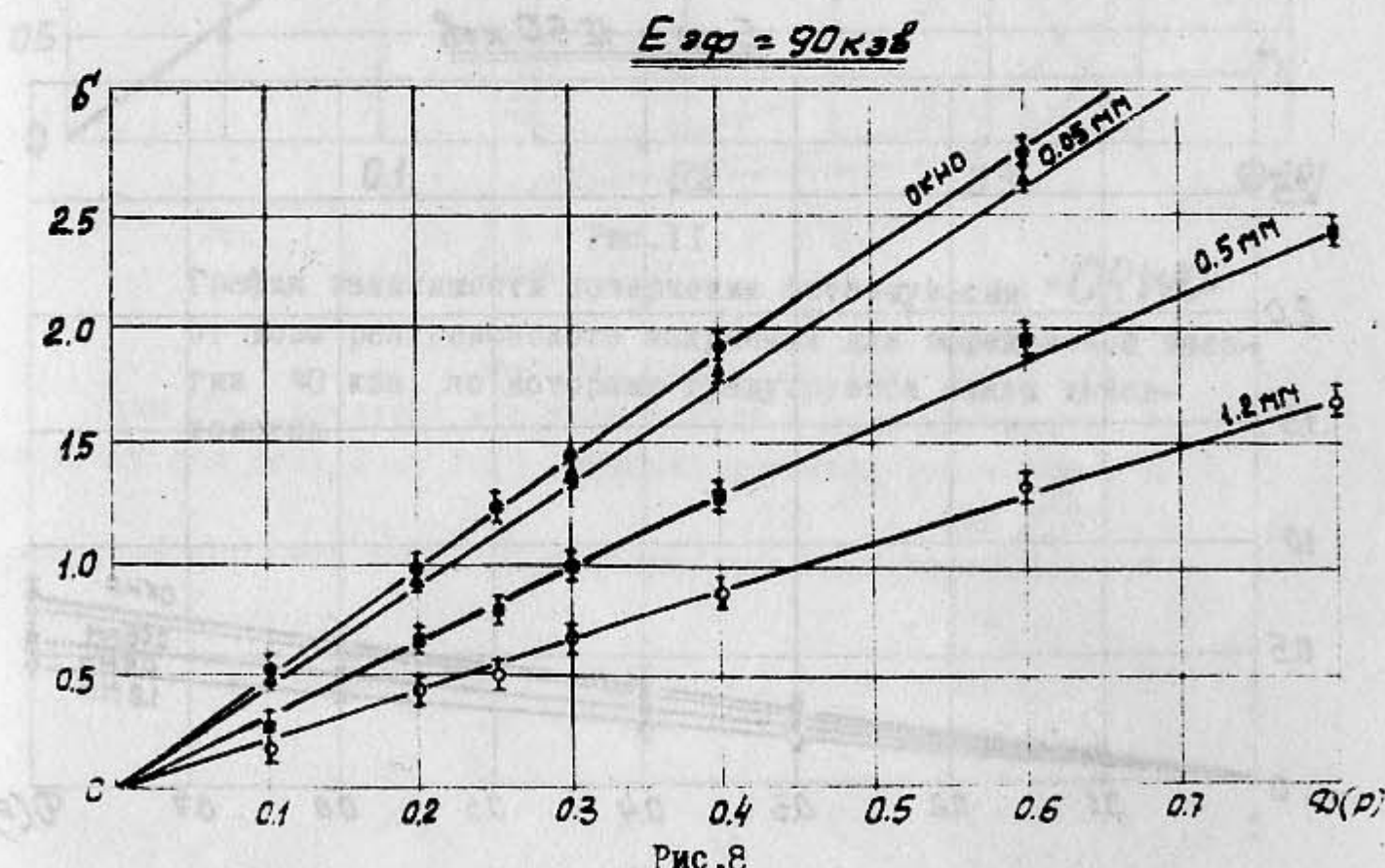


Рис.8

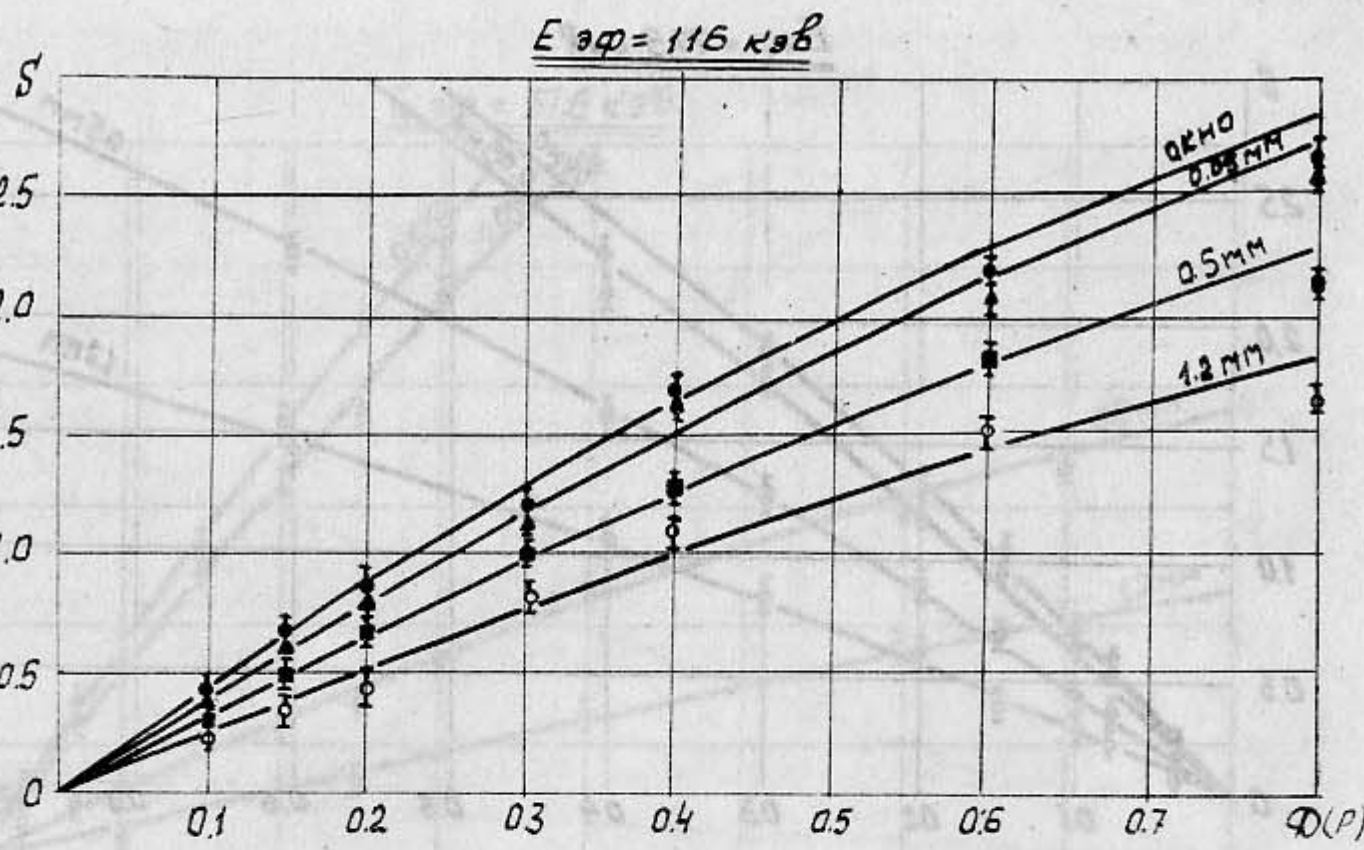


Рис.9

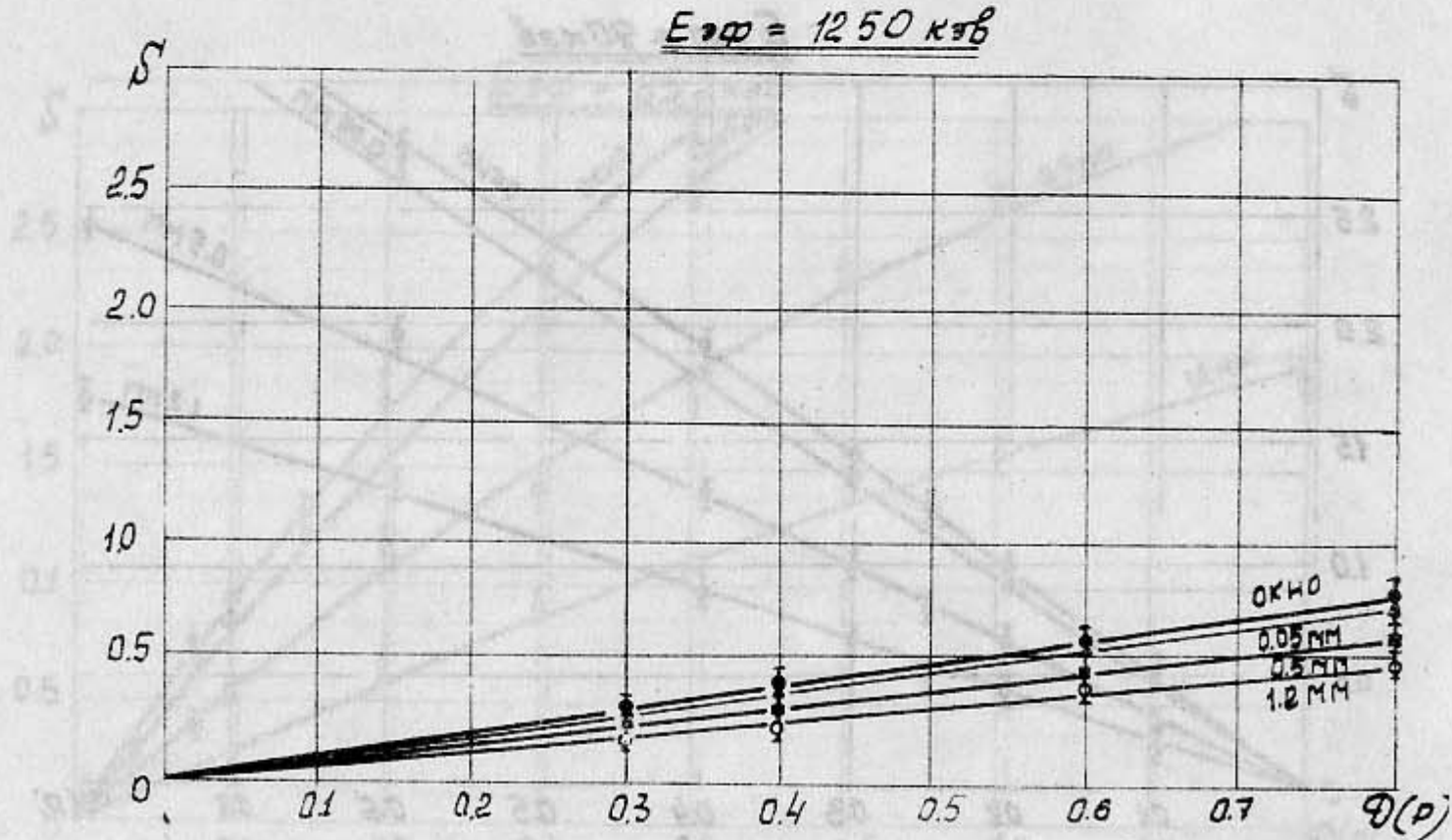


Рис.10

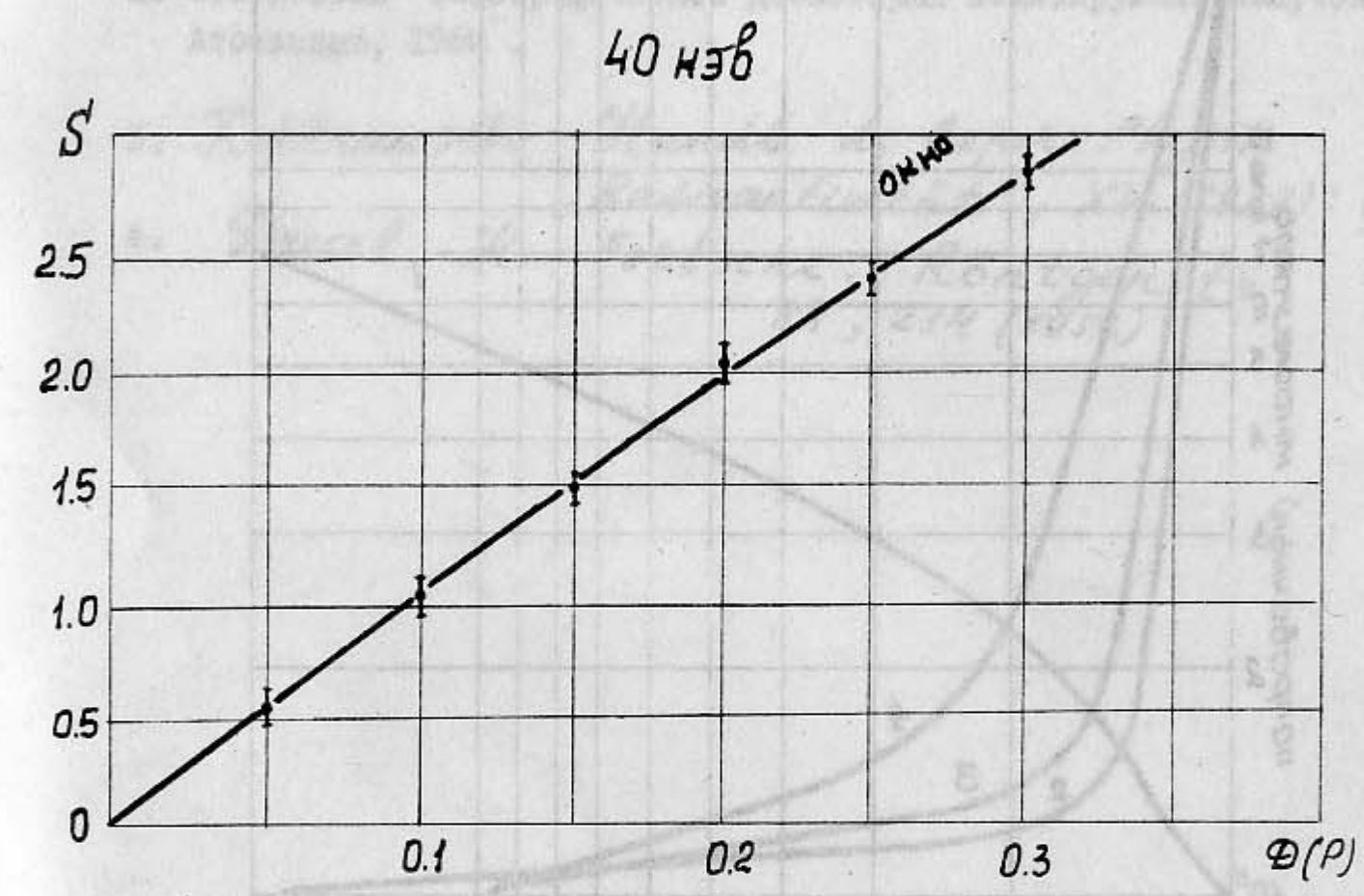


Рис.II

График зависимости почернения фотоэмulsionии "ORWO" от дозы рентгеновского излучения для эффективной энергии 40 кэв, по которому градуируется шкала денситометра

## Л и т е р а т у р а

1. "Радиационная дозиметрия" под редакцией Д.Хайна и Г.Браунелла, ИЛ, 1958.
2. В.Ф.Козлов "Фотографическая дозиметрия ионизирующих излучений". Атомиздат, 1964 .
3. Kohlrausch *Handb. d. Exper. Physik Radioaktivität*, XV (1928): 61 .
4. Diesel H. *Fortschr. Röntgenstr.* 84, 214 (1956).

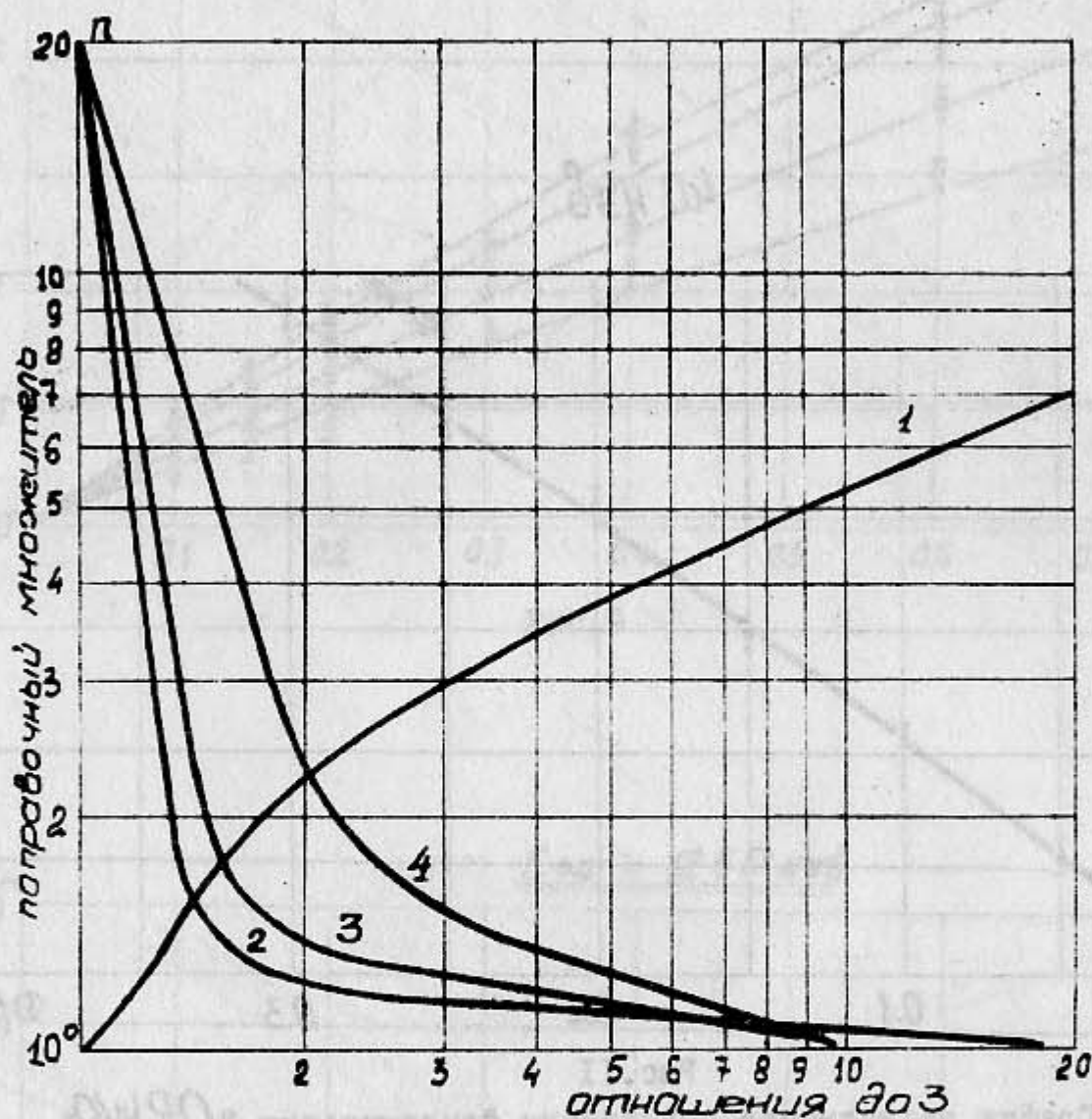


Рис. 12

Поправка на зависимость от энергии

- 1 - отношение дозы в окне к дозе под фильтром 0,05 мм;
- 2 - отношение дозы под фильтром 0,05 мм к дозе под фильтром 0,5 мм;
- 3 - отношение дозы под фильтром 0,5 мм к дозе под фильтром 1,2 мм;
- 4 - Отношение дозы в окне к дозе под фильтром 1,2 мм.